

生体信号處理用マイクロ 컴퓨터에 관한研究 (On the Microcomputerized Biomedical Signal Processing System)

金惠鎮*, 金洛斌**, 金永川**

(Duckjin Kim, Nak Bin Kim and Yung Chun Kim)

要 約

여러 가지 生体信号를 测定하여 마이크로 컴퓨터 안에 기억시켜 두고 生体 内部 器官의 狀態를 把握할 수 있도록 적절한 프로그램을 선택하여 그 信号를 處理할 수 있는 信号 處理 시스템을 構成하였다. 이 시스템의 特徵은 EEG, ECG 等 여러 가지 生体 信号를 하나의 시스템으로 處理할 수 있게 한 点이다. ECG 波形은 3個 채널로 同時 测定 記錄한 後 心電 밴더圖를 作成하여 心搏數, 心室興奮時間, 心電 밴더의 絶對值와 角等과 함께 CRT 画面上에 나타나게 하였다. EEG 波形은 CRT上에 周波數 成分別로 頻度와 相對振幅을 나타나게 하였다.

Abstract

A microcomputerized biomedical signal processing system has been designed and fabricated. Softwares for this system have also been developed to record and analyze ECG and EEG waveforms. In this system, the vectorcardiogram of ECG waveforms is formed automatically and displayed on CRT with other usefull cardiac information.

The frequency components of EEG waveforms can also be analyzed in this system and the analyzed spectrum is displayed on CRT.

I. 序 論

生体 計測은 오래 前부터 研究되어 왔던 医用生体 工學의 基本이며 基礎 医學分野에서 뿐만 아니라 臨床的 診斷을 위해 서도 많은 資料를 提供하여 주는 重要한 分野가 되고 있다. 컴퓨터에 依한 디지털 信号 處理 技術이 발달됨에 따라 이 技術을 여러 가지 生体 信号 分析 및 處理에 利用하여 보려는 試圖가 最近에

많이 나타나고 있다.^[1~6]

生体 信号 處理에 中型 以上의 汎用 컴퓨터를 利用하는 경우^[7]에는 記憶 容量도 크고 處理 速度도 빨라서 좋기는 하지만 컴퓨터 自体가 高價이므로 이 目的을 위한 専用 處理 시스템으로 使用할 수도 없고 测定 系統과 on-line으로 構成하는데에도 곤란한 点이 많이 있다. 미니컴퓨터는 이보다는 價格도 저렴하고 專用 on-line 處理 시스템으로 쓰는 데에 適合하므로 미니컴퓨터를 利用하여 生体 信号 處理를 하는 경우도 많이 있다.^[1~4] 最近에 마이크로 컴퓨터의 性能이 徒來의 미니컴퓨터 수준에 이르고 있는 反面 그 價格은 현저하게 싸지고 있어 特殊 目的을 위한 專用 處理 시스템으로 매우 適合하여 치고 있어 本 論文에서는 마이크로 컴퓨터를 利用한 生体 信号 處理

*正會員, **準會員, 高麗大學校 工科大學 電子工學科
(Korea Univ. Dept. of Elec. Eng.)

接受日字 : 1982年 4月 15日

(※本 論文은 1981年度 文教部 學術研究助成費에 依하여 研究되었음.)

시스템 개발 결과를記述하려고 한다. 이 신호 처리 시스템의 개발은 저렴한價格으로 여러 가지 生体信号를 分析 處理하여 生体 内部 器管의 異狀 有無를迅速 正確히 판단되는데 도움이 되는 資料를 얻고자하는데에 目的이 있다. 本 시스템 개발은 生体信号別測定系統 및 마이크로컴퓨터의 적절한 하드웨어構成과 信号의 種類에 따른 最適 處理 프로그램 개발의 두 가지側面에서 推進되었다.

II. 하드웨어 시스템의構成

生体 信号 测定 및 處理를 위하여 그림 1과 같이 시스템을構成하였다. 電極에서 얻어진 生体 信号는 增幅段을 거쳐 A/D 變換되어 마이크로컴퓨터에 入力된다. 마이크로컴퓨터에서 處理된 結果를 D/A 變換器를 거쳐 오실로스코프上에 表示하거나 또는 CRT 画面上에 表示할 수 있도록構成하였다.

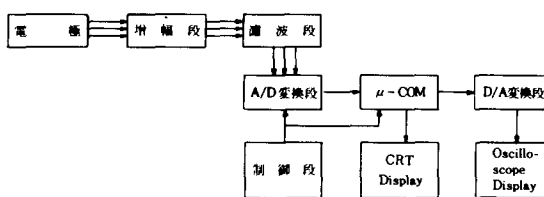


그림1. 시스템 블록 다이어그램

Fig. 1. Block diagram of the system.

1. 마이크로컴퓨터의構成

마이크로컴퓨터는 Z-80 CPU를 使用하였고 클럭周波数는 2 MHz, 메모리 용량은 53Kbytes(RAM 48K, ROM 4K, Video display用 RAM 1K)이다. 또한 보조기억장치로서는 카셋트 테이프 녹음기를 使用하였으며 메모리 할당은 그림 2와 같고 마이크로컴퓨터의構成圖는 그림 3에서와 같이 점선으로 표시된 메인보드와 주변기기들로構成되었다.

PIO(Parallel input/output)는 Intel회사 제품인 8255를 使用하였으며 mode 0의 #12를 使用하여 port A와 port C의 上位 4 bits는 入力으로, port B와 port C의 下位 4bits는 出力으로 각각 使用하고 있다. 따라서 port A는 A/D 變換器, port B는 D/A 變換器와 接續하였고 port C는 制御 port로 使用하였다. Port C의 bit 1,2,3의 出力이 아날로그 스위치를 完全히 단속할 수 있도록 比較回路(comparator)를 통해 ECG 電極인 lead I, II, III의 선택 回路에

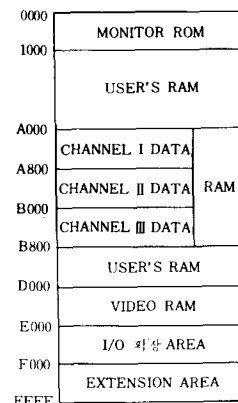


그림2. 메모리 할당

Fig. 2. Memory map.

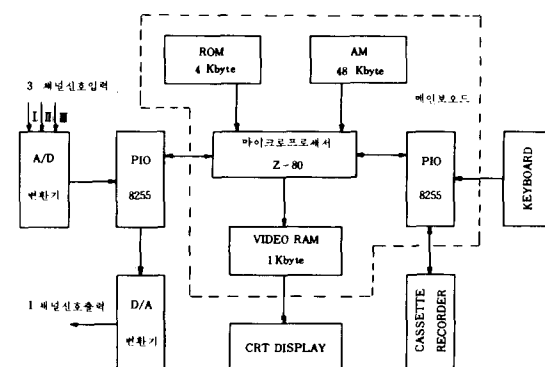


그림3. 마이크로컴퓨터 구조도

Fig. 3. Microcomputer structure.

連結되고 bit 6은 HOLD 信号線, bit 7은 A/D 變換器의 EOC(end of conversion)線, bit 0은 SC(start conversion)線과 連結하였다. 接續狀態는 그림 4와 같다.

生体 信号의 데이터를 저장하기 위하여 우선 PIO의 C-port(bit 6)에 連結된 HOLD 信号가 '1' 狀態인지連續的으로 스캐닝하여 '1' 狀態가 檢出되면 채널 I 波形의 데이터를 받아 들이기 위해 아날로그 스위치 1을動作시킨 後 A/D 變換器에 變換開始 信号를 P-IO의 C-port(bit 0)를 통해 내보낸다. 그 후 A/D 變換器의 EOC 信号가 '1' 狀態인지를 PIO의 C-port(bit 7)를 통해連續的으로 스캐닝하여 '1' 狀態이면 지정된 기억 장소에 채널 I 波形의 데이터를 저장한 後 아날로그 스위치 2를動作시키고 같은 方法으로 지정된 기억 장소에 채널 II 波形의 데이터를 저장한다.

그 後 아날로그 스위치 3을 통해 같은 方法으로 채널 III의 波形을 기억 장소에 저장한다. 따라서 같

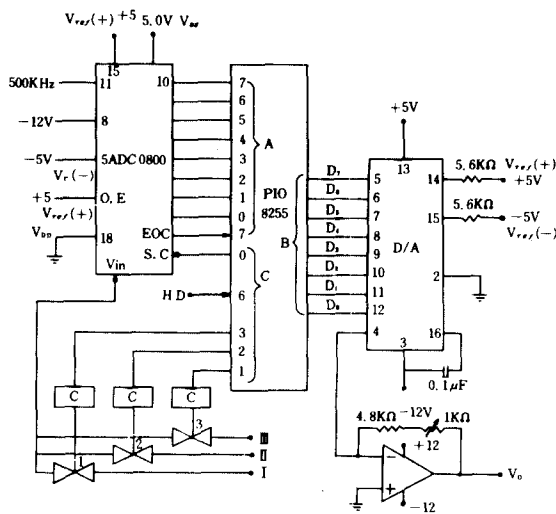


그림4. PIO와 주변장치의 接續

Fig. 4. Interface of PIO and external devices.

은 샘플時間 동안에 채널 I, II, III 波形의 데이터가 모두 저장되고 다시 HOLD 信号가 '1' 狀態인지 檢出하여 같은 方法으로 지정된 기억 장소에 데이터가 모두 채워질 때까지 계속된다. 데이터를 저장하기 위한 프로그램은 機械語를 使用하였다.

2. 信号測定回路

1) 心電圖測定回路

心電圖의 测定은 그림 5에서와 같이 患者를 保護하기 위하여 患者에게 接地點을 直接 連結하는 대신에 右脚 增幅器의 电流制限 抵抗을 通해서 右脚에 連結하였다. 나머지 3 電極으로부터 얻어진 lead I, II, III의 信号는 그림 6과 같이 2段 差動 增幅器로構成된 增幅回路에서 각각 60dB씩 增幅된다. 增幅된 信号는 60Hz 노치 필터를 통하므로서 電源周波数에 의해 誘導된 60Hz 雜音이 40dB 減衰되고 遮斷周波数가 100Hz인 低域濾波器를 통하므로서 높은 周波数成分의 雜音이 除去된다. 雜音이 除去된 信号는 샘플 및 흘드回路에서 1秒에 500개씩 샘플링되어 A/D 變換器(ADC 0800)에 人力된 後 8비트 데이터로 變換되어 마이크로컴퓨터 안의 RAM에 저장된다.

2) 腦波測定回路

腦波의 测定은 그림 7에서와 같이 頭部에 부착된 電極으로부터 얻어진 腦波는 그림 6과 같이構成된 第一段 增幅器에서 60dB 增幅된 後 遮斷周波数가 100Hz인 低域濾波器와 60Hz에서 40dB 減衰特性이 있

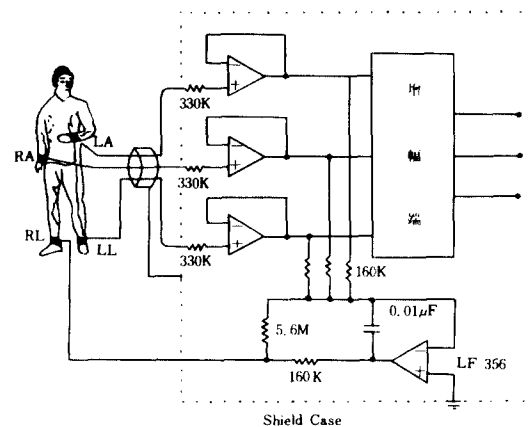


그림5. 電極의 接續

Fig. 5. Connection of electrodes.

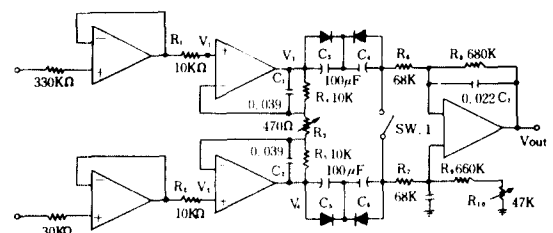


그림6. 增幅回路

Fig. 6. Amplifier circuit.

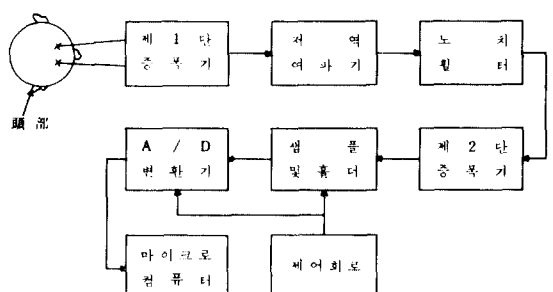


그림7. 腦波測定回路의 블록 다이어그램

Fig. 7. Block diagram of EEG measuring circuit.

는 노치필터를 통한다. 이렇게 얻어진 信号는 第二段 增幅度에서 增幅度의 조정에 따라 20dB~40dB 增幅되고 샘플 및 흘드回路에서 1秒에 600개씩 샘플링된 後 A/D 變換器(ADC 0809)에서 8비트 데이터로 變換되어 마이크로컴퓨터 안의 RAM에 저장된다.

3. 制御回路

發振回路은 4 MHz의 크리스탈 發振을 하여 分周回路에서 $\frac{1}{8000}$ 分周하여 500Hz 矩形波를 얻었다. 퀄리幅 조정回路에서는 샘플링 時間이 0.2ms, 홀딩 時間이 1.8ms 되도록 펄스幅을 조정하여 샘플 흘터 回路 및 홀드 信号을 檢出 回路에 加한다. 마이크로컴퓨터는 홀드 信号을 檢出하여 채널 선택 회로에 制御 信号를 내보내 채널을 선택하게 한 후 A/D 變換器에 變換開始 信号를 내 보낸다. 또한 마이크로컴퓨터는 A/D 變換器로부터 EOC 信号를 檢出하여 8 비트 데이터를 받아 들인 후 다음 채널의 信号를 A/D 變換하게 한다. 制御回路의 블록 다이어그램은 그림8과 같고 制御 信号의 順序圖는 그림9와 같다.

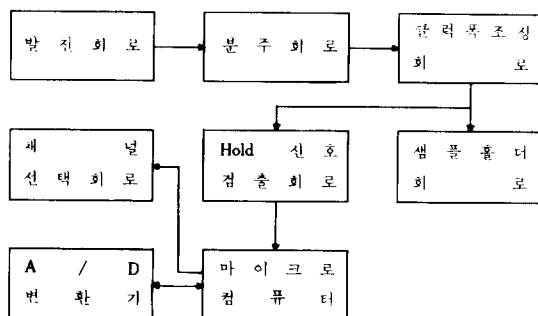


그림8. 制御回路의 블록 다이어그램

Fig.8. Block diagram of control circuits.

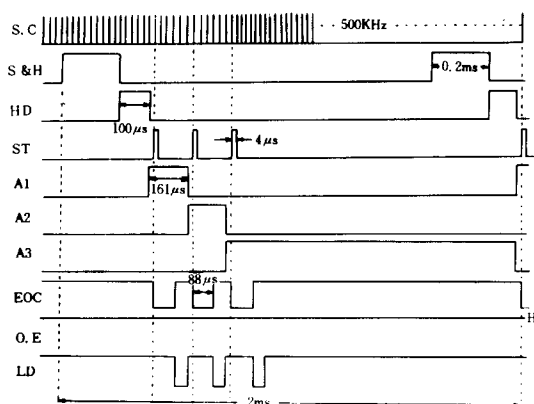


그림9. 制御信号의 順序圖

Fig.9. Timing diagrams of control signals.

III. 시스템의 信号處理應用

1. 心電圖分析

1) データ의 저장과 分析

그림4에서 알 수 있듯이 같은 샘플 주기동안에 電極을 통해 얻어진 心電圖波形의 bipolar standard lead I, II, III의 信号은 각각 채널 I, II, III를 통해 순차적으로 컴퓨터에 入力된다.

心電圖의 分析을 하기 위하여 우선 QRS群을 檢出하여야 하는데 그 方法은 ECG 波形을 미분하여 QRS群의 falling edge를 檢出한다. 이 부분의 미분값은 1,500倍로 增幅했을 경우 약 -40 ~ -300 mV/T의 값을 갖고 있다. 여기서 T는 샘플 時間이다. 따라서 threshold값은 -40mV/T로 定하였다. Threshold값以下の 미분값의 連續性을 比較하여 threshold값 以下의 連續된 數를 決定하여 QRS群의 falling edge를 檢出하고 있다. 그리고 좀 더 正確性을 期하기 위하여 처음 檢出된 QRS群을 分析하여 R-R間隔, 心搏數, 心室興奮時間과 ベク터圖^[6]에 必要한 R의 높이와 S의 깊이를 検定하도록 하였다. 心搏數의 單位는 BPM(beats per minute)이다.

$$\text{心搏數} = \frac{60}{(R-R\text{間隔}) \times \text{sampling time}} [\text{BPM}] \quad (1)$$

$$\text{心室興奮時間} = (Q-R\text{間隔}) \times \text{sampling time} [\text{sec}] \quad (2)$$

$$R\text{의 높이} = (R-128) \times 40 [\text{mV}] \quad (3)$$

$$S\text{의 깊이} = (128-S) \times 40 [\text{mV}] \quad (4)$$

이다.

心電圖 分析은 心電圖 데이타가 RAM에 저장된 後 心電圖 分析을 한 結果를 CRT上에 나타내고 RAM에 기억된 心電圖 데이타를 D/A 變換器를 통해 오실로스코프 上에 心電圖 波形을 나타내게 하였다. 프로그램은 BASIC 言語를 使用하였다.

2) ECGベクター圖의 直交座標化

ベクター圖는 그림10과 같이 lead I, lead II, lead III 축을 原點을 中心으로 平行하게 이동하여 直交座標化하여도 數學的으로 본래의 벡터圖를 변경시키지 않는다. 벡터圖에서 a, b, c는 bipolar standard lead I, II, III 波形에서 R의 높이와 S의 깊이의 差이다.

Bipolar standard lead I, II, III의 方程式을 각각 Y_1 , Y_2 , Y_3 이라 하면

$$Y_1 = 0 \quad (5)$$

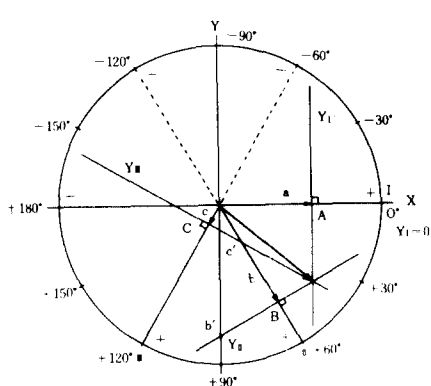


그림 10. 直交 座標化한 빠타圖

Fig. 10. Construction of ECG vector diagram.

$$Y_1 = -\sqrt{3}x \quad (6)$$

$$Y_{11} = \sqrt{3}x \quad (7)$$

이다.

Lead I, II, III의 直交 方程式를 각각 Y'_1 , Y'_2 , Y'_3 라 하면

$$x = a \quad (8)$$

$$Y'_1 = \frac{1}{\sqrt{3}}x - b' \quad (9)$$

$$Y'_3 = -\frac{1}{\sqrt{3}}x - c' \quad (10)$$

式(9)에 點B를 代入하여 整理하면

$$Y'_1 = \frac{1}{\sqrt{3}}x - \frac{2\sqrt{3}}{3}b \quad (9)$$

式(10)에 點C를 代入하여 整理하면

$$Y'_3 = -\frac{1}{\sqrt{3}}x - \frac{2\sqrt{3}}{3}c \quad (10)$$

式(8)=式(9)'에서

$$\text{接點}(x_1, y_1) = (a, \frac{1}{\sqrt{3}}a - \frac{2\sqrt{3}}{3}b) \quad (11)$$

式(8)=式(10)'에서

$$\text{接點}(x_2, y_2) = (a, -\frac{1}{\sqrt{3}}a - \frac{2\sqrt{3}}{3}c) \quad (12)$$

式(9)'=式(10)에서

$$\text{接點}(x_3, y_3) = (b - c, -\frac{\sqrt{3}}{3}b - \frac{\sqrt{3}}{3}c) \quad (13)$$

式(11), (12), (13)의 中點을 구하면

$$\text{中點}(x_c, y_c) = \left(\frac{x_1 + x_2 + x_3}{3}, \frac{y_1 + y_2 + y_3}{3} \right) \quad (14)$$

따라서 빠타의 크기는

$$M = \sqrt{x_c^2 + y_c^2} \quad (15)$$

빠타의 각은

$$x \geq 0 \text{ 일 경우 } \theta = -\tan^{-1} \frac{y_c}{x_c}$$

$$x < 0 \text{ 일 경우 } \theta = 180^\circ - \tan^{-1} \frac{y_c}{x_c} \quad (16)$$

이다.

3) 디스플레이

數式化한 心電 빠타圖를 CRT上에 그레프로 나타내고 빠타의 크기와 角度, 心搏數, 心室興奮時間 등을 사진 2 (b)와 같이 CRT上에 數字로 表示하였다. 또한 노래 心電圖 波形을 약40배의 周波數가 되도록 디프로토그램을 作成하여 D/A變換器를 거쳐 범용 오디오프로세서로 波形을 볼 수 있도록 하였다.

2. 腦波分析

腦波의 周波數 測定은 脳波信號의 符號變化(zero crossing)를 檢出하여 정하였고 1秒間의 脳波의 데잍를 周波數 帶別로 分類하여 그 周波數帶의 頻度數와 같은 周波數帶의 最大 值을 測定하여 CRT上에 左側面은 周波數 最大值의 相對 레벨을, 右側面은 같은 周波數의 反復回數를 나타냄으로써 正常腦波와 异狀腦波를 迅速하게 分類할 수 있게 하였다.

IV. 實驗 結果 및 檢討

當 研究室에서 製作된 生体 信號 處理 컴퓨터 시스템의 寫眞은 사진 1과 같다.

이것을 使用하여 本 大學校 學生을 對象으로 心電

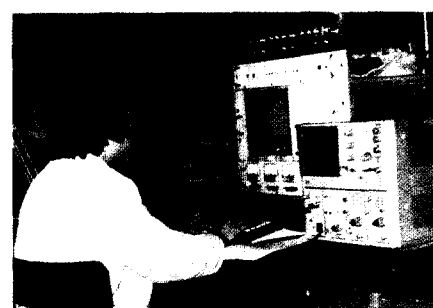


사진 1. 當 研究室에서 製作된 生体信號 處理用 컴퓨터 시스템

Photo. 1. Fabricated biomedical signal processing computer system.

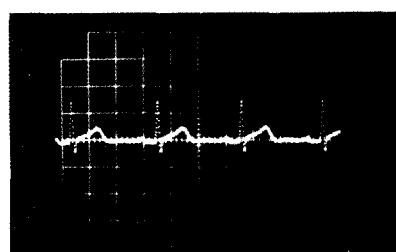
표 1. 分析된 벡터의 크기와 角度

Table. 1. Magnitudes and angles of ECG vector cardiograms.

학생 번호	I & II		I & III		II & III		최종치	
	M	θ	M	θ	M	θ	M	θ
1	11.6	50.0	11.9	51.9	11.6	53.1	11.8	51.7
2	13.4	62.9	13.9	64.0	13.4	65.3	13.6	63.9
3	16.6	71.2	16.6	71.2	16.6	71.2	16.6	71.2
4	21.6	66.1	21.4	67	21.7	65.2	21.6	65.7
5	7.9	107.6	7.0	110.0	7.3	102.7	7.4	106.4
6	10.4	106.3	9.6	107.8	9.8	102.6	9.9	105.8
7	14.0	112.2	14.9	110.9	14.7	113.6	14.7	112.0
8	16.6	70.3	17.1	71.0	16.7	72.2	16.8	71.1

圖를 测定 分析하여 그 중 7명의 测定結果는 표 1에 나타내었다.

표 1에서 알 수 있듯이 lead I 과 lead II, lead I 과 lead III, lead II와 lead III에서 각각의 벡터의 크기와 角度가 이들을 平均하여 구한 最終値와 매우類似하다.



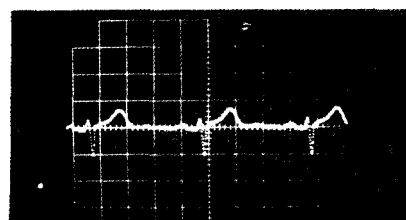
(a) Lead I 波型



(b) CRT display

사진2. 正常 心臟 波形과 벡터 다이어그램

Photo. 2. Waveforms and ECG vector cardiogram of normal heart.



(a) Lead I 波型



(b) CRT display

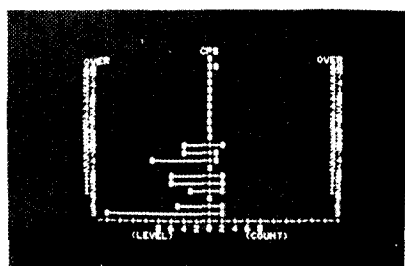
사진3. 非正常 心臟의 波形과 벡터 다이어그램

Photo. 3. Waveforms and ECG vector cardiogram of abnormal heart.

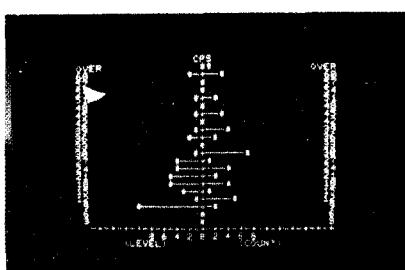
似하다. 따라서正確하게 分析되고 있음을 알 수 있다. 이중 正常心臟의 波形 및 벡터 表示는 사진2와 같이 나타났고 非正常心臟의 波形 및 벡터 表示는 사진3과 같이 다르게 나타났다.

CRT上의 벡터圖에서 原點으로부터 다이아몬드 表示까지가 벡터의 크기가 되며 그 값과 角度(A.G.), 心搏數(H.R.), 心室興奮時間(VAT) 등을 나타내 주고 있다. 사진中에서 lead I 波形이 正常人과 완연히다르다. 分析한 결과 벡터角이 106.4° 로 나타나 右心室異常肥大의 可能성이 있거나 右軸偏位의 可能성이 있다고 볼 수 있는 경우라고 생각된다. 또同一人을 심한 運動을 하게 한 後에도 测定해 보았으나 그 結果 벡터의 크기와 角度는 運動前과 거의 같고 心搏數만 상당히 增加됨을 알 수 있었다. 따라서 心電 벡터는 一時的인 조건 변화에 의해서는 변하지 않을음을 알 수 있다.

마이크로 컴퓨터로 1秒間의 脳波信号를 分析하여 CRT上에 사진4와 같이 左側面은 周波數 帶別 最大値의 相對 레벨을, 右側面은 같은 周波數의 反復回數를 나타내었다. 分析 結果는 사진4와 같다.



(a) 脳波 周波數 7.5Hz 일때



(b) 脳波 周波數 20.5Hz 일때

사 진 4. 脳波 分析結果의 CRT 表示

Photo. 4. CRT display of EEG analysis.

V. 結 論

從來에는 生体 信号 處理에 미니컴퓨터를 使用하므로써 시스템 構成 費用이 高價이므로 實驗室에서 簡便하게 使用할 수 없는 欠點이 있었다. 本 研究에서는 價格이 低廉한 8 bit 마이크로 컴퓨터를 使用하여 어디에서나 簡便하게 脳波 및 心電圖 波形을 測定하여 디지털 形態로 記憶 裝置에 記憶시켜 놓고 脳波를 分析하는 소프트웨어와 心電圖 解析 및 ベク터를 作成하는 소프트웨어를 開發하여 그의 實用性을 實際로

試験하여 본 結果 從來의 cardiac vectorscope가 갖고 있지도 않았던 記憶 및 處理 기능을 갖게 하였으며 같은 시스템으로 EEG 分析도 可能하게 하였다.

參 考 文 獻

- [1] B. C. Wheeler, *The Evaluation of Neutral Multi-unit Separation Techniques*. Ph. D. dissertation, Cornell Univ., 1981.
- [2] A. J. Lim and W. D. Winters, "A practical method for automatic real-time EEG sleep state analysis," *IEEE Trans., Biomed. Eng.*, vol. BME-27, no. 4, pp. 212-220, 4月 1980.
- [3] 朴光錫, 閔丙九, 李忠雄, "콤팩터를 利用한 糖尿病患者 脳波의 極波自動檢出 方法에 關한 研究," 電子工學會誌, 第17卷, 第6號, pp. 28-32, 2月 1980.
- [4] Anders Lsakssor, Arne Wennberg, and L. H. Zetterbeg, "Computer analysis of EEG signals with parametric models," *Proc. IEEE*, vol. 69, no. 4, pp. 451-461, 4月 1981.
- [5] Alans. Gevins, et al., "Automated analysis of the electrical activity of the human brain (EEG): a progress report," *Proc. IEEE*, vol. 63, no. 10, pp. 1382-1399, 10月 1975.
- [6] M. J. Goldman, *Principles of Clinical Electrocardiography*, pp. 29-35, Lange Medical Publications, 1976.
- [7] T. Sakamoto, M. Saito, K. Hikiko, S. Shibata, *Automatic ECG Analysis*. in Dig. 6th Int. Conf. Medical and Biological Engineering (Tokyo, Japan), pp. 172-173, 1965.